

パイルド・ラフトの沈下挙動に関する実用計算法 (その2 適用性の検討)

パイルド・ラフト 沈下

実用計算法

1. はじめに

その1で構築したコラム置換法¹⁾ (CEM) の適用性を検討するために、多層地盤に関する三次元有限要素法 (FEM) 解析結果および実構造物の実測結果2例との比較検討を行う。

2. 多層地盤におけるFEM解析値との比較

図1はパイルド・ラフトの形状であって、その1と同様である。図2のように杭先端以浅が2層になる場合 (Type1~4) および杭先端以深が2層となる場合 (Type5~8)について、本論文の CEM 計算値と FEM 解析値を比較する。ここで、CEM の有効幅係数は $SW=0$ とした。

図3はラフト中央部沈下量 S_F を Type 別に比較したものである。CEM 計算値は FEM 解析値に比べて、杭先端以浅の地盤剛性が杭先端以深のそれよりも小さい場合には小さく、逆の地盤剛性分布では大きくなる傾向がある。ただし、これらの差はわずかであり、CEM 計算値と FEM 解析値は概ね近似している。

図4はラフトの中央部と隅角部間の変形角 θ_{AF} であるが、Type8 を除いて、CEM 計算値は FEM 解析値の違いは 12% 以下であり、良く近似している。

3. 実構造物への適用例

3. 1 正方形平面の中層建物

正方形平面の中層建物²⁾ (RC 5階、建築面積約 552m²、平均接地圧約 86kN/m²) の実測例を CEM 計算値と比較する。杭はソイルセメントと H鋼によって構成されており、ヤング係数 $E_p = 9800 \text{ MPa}$ 、杭長 15.6m とした。ラフトは、厚さ 600mm、ヤング係数 $2.1 \times 10^4 \text{ MPa}$ 、ポアソン比 1/6 とした。

図5は杭配置に基づいて等価コラムを配したものであるが、地盤のみのコラムも設定してある。荷重は基礎設計荷重から基礎重量(7.1kPa)を差し引いた表1の値とした。

図6は沈下量に関する CEM 計算値と実測値を比較したものであるが、両者はほぼ近似した。

図7は A通りと C通りの杭頭軸力を比較したものであるが、CEM 計算値(Cal-A, Cal-C)は実測値(Me-A, Me-C)よりも幾分大きい。杭とラフトの荷重分担率は、実測値では杭:ラフト = 49:51 であったが、CEM 計算値では 69:31 であった。このような違いが生じた原因の一つとして、今回の CEM では施工過程における地下水位の上昇を考慮し

正会員
同
同

○池田隼人*
土屋 勉**
永井 宏***

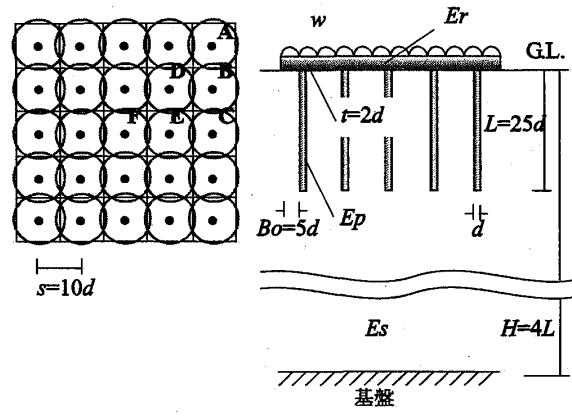


図1 解析モデルの諸元

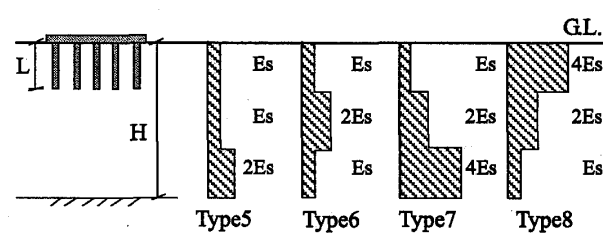
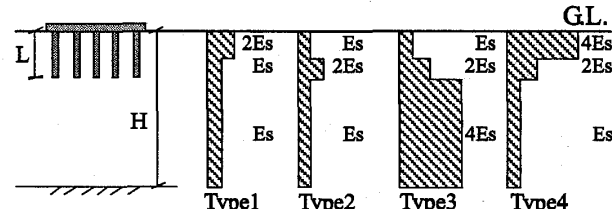
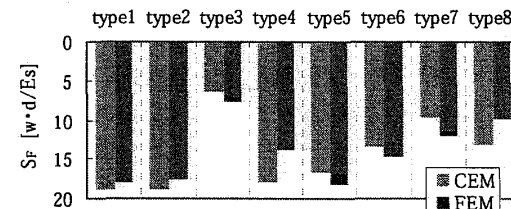
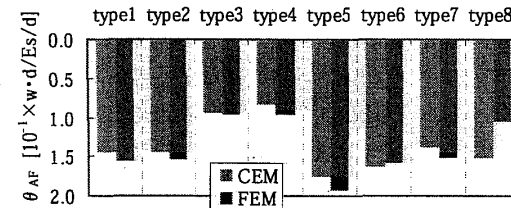


図2 地盤の変形係数分布

図3 ラフト中央部沈下量 S_F 図4 中央一隅角変形角 θ_{AF}

A Practical Approach on behavior of Settlement of Piled-Raft Foundation (Part2).

IKEDA Hayato, TSUCHIYA Tsutomu and NAGAI Hiroshi

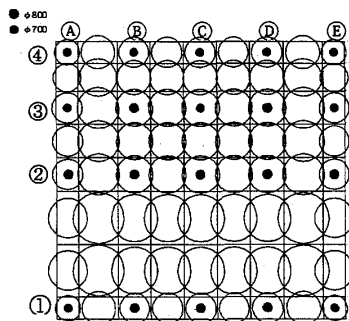


図 5 桁径およびコラム配置

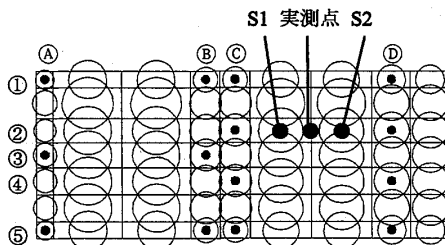


図 8 コラム配置

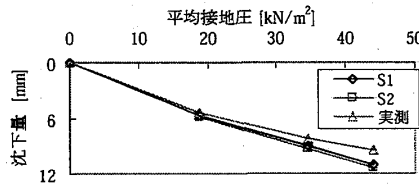


図 9 沈下量の比較

なかつたことが上げられる。

3. 2 長方形平面の中層建物

図 8 のような長方形平面の中層建物³⁾ (RC 壁式 3 階, 建築面積約 319m², 平均接地圧約 70kN/m²) の実測例について同様に検討する。文献³⁾に基づいた地盤各層の変形係数を表 2 に示す。杭のヤング係数 E_p は中空の断面を中実杭と置き換えて $E_p = 2.3 \times 10^4$ MPa, 杭長 25m, 杭径 600mm とした。ラフトは、厚さ 600mm, ヤング係数 2.1×10^4 MPa, ポアソン比 1/6 とした。ラフトの剛性と荷重条件は、施工過程を考慮して表 3 のように設定した。

図 9 は施工過程に伴う沈下量を比較したものである。

CEM 計算値(S1, S2)は実測値よりもわずかに大きい傾向があるものの、ラフト剛性が発揮されると中央付近の沈下増大が鈍化するなど実測の挙動に概ね近似した。

図 10 は杭頭軸力である。CEM 計算値は、(a)の中央部でほぼ実測値に近似し、(b)の外周部では幾分小さくなるが、全体の荷重分担率については、実測値では杭 : ラフト =

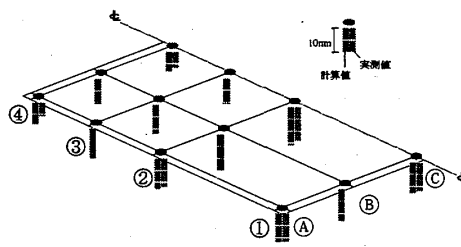


図 6 沈下分布図

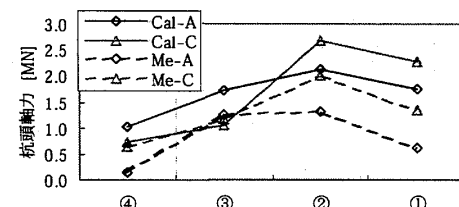


図 7 杭頭軸力の比較

	(A)	(B)	(C)	(D)	(E)	
(④)	1.17	1.66	0.88	1.43	0.88	
(③)	2.10	2.34	1.34	2.68	1.46	
(②)	2.56	3.48	3.57	3.38	2.60	
(①)	1.98	2.80	2.67	2.43	1.71	(MN)

表 1

深度 [m]	E0 [MPa]	低減率	E [MPa]
2	110	0.12	13.1
7	80	0.30	24.1
12	70	0.55	38.5
25	95	0.63	59.8
40	165	0.78	129.5

表 2 地盤の変形係数

	基礎 1F 打設時	2F 床打設時(増分)	3F 床打設時(増分)
ラフト剛性	0 [MPa]	2.05×10^4 [MPa]	2.05×10^4 [MPa]
荷重条件	18.8 [kN/m ²]	15.7 [kN/m ²]	9.4 [kN/m ²]

表 3 施工過程

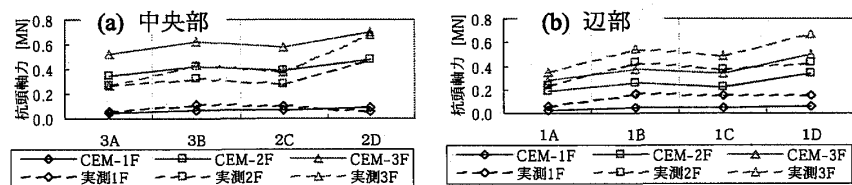


図 10 杭頭軸力の比較

51 : 49 に対して CEM 計算値では 53 : 47 と良く近似した。

4.まとめ

パイルド・ラフトの沈下分布と杭体軸力を簡便に推定する実用計算法(CEM)の適用性について検討してきたが、以下のようにまとめられる。

- ① 種々の変形係数分布を有する FEM 解析値と比較して、多層地盤における CEM 計算法の適用性を確認した。
- ② CEM 計算値はパイルド・ラフトの実測挙動と概ね近似したが、計算精度を更に向こさせるためには、工事に伴う地下水位変化や山留め壁の影響を評価するモデルの開発が望まれる。

参考文献

- 1) 土屋, 池田, 永井: パイルド・ラフトの沈下挙動に関する実用計算法(その 1 コラム置換法の構築), 日本建築学会大会学術講演集(投稿中), 2005.
- 2) 山田, 山下, 他 3 名: パイルド・ラフト基礎とした中層建物の沈下挙動, 日本建築学会大会学術講演梗概集, 1992.8
- 3) 玉置, 桂, 他 4 名: パイルドラフト基礎で支持された RC3 階建物の沈下挙動分析(その 1 ~ その 3), 日本建築学会大会学術講演梗概集, 2001.9

* (株)日本設計・修士(工学)

** 室蘭工業大学教授・工博

***舞鶴工業高等専門学校 助手・博士(工学)

* NIHON SEKKEI Co.,Ltd., M.Eng.

** Professor, Muroran Inst. of Tech., Dr.Eng.

*** Research Associate, Maizuru National College of Tech., Dr.Eng.